

## О восстановлении двумерной замкнутой поверхности в $E^4$ по заданному замкнутому грассманову образу

Ю.А. Аминов, В.А. Горькавый, А.В. Святовец

*Физико-технический институт низких температур им. Б.И. Веркина НАН Украины  
пр. Ленина, 47, Харьков, 61103, Украина*

E-mail: aminov@ilt.kharkov.ua

Статья поступила в редакцию 15 апреля 2002 г.

Изучается задача восстановления двумерной замкнутой поверхности специального вида в четырехмерном евклидовом пространстве по заданному замкнутому грассманову образу.

Вивчається задача відновлення двовимірної замкненої поверхні спеціального вигляду в чотиривимірному евклідовому просторі за заданим замкненим грасмановим образом.

### Введение

Работа посвящена проблеме восстановления подмногообразия в евклидовом пространстве по заданному грассманову образу. Ранее эта проблема рассматривалась либо локально, либо для односвязных областей. Например, в работе [1] было доказано, что если для регулярной поверхности  $\Gamma^2$  в грассмановом многообразии  $G_{2,4}$  секционная кривизна  $\bar{K}$  многообразия  $G_{2,4}$  вдоль касательной плоскости к  $\Gamma^2$  в точке  $p$  отлична от 1, то тогда некоторая окрестность точки  $p$  на  $\Gamma^2$  является грассмановым образом некоторой регулярной поверхности  $F^2$  евклидова пространства  $E^4$ . Аналогичные результаты для односвязных областей получены в [2, 3], см. также [4]. Однако в том, что касается восстановления *замкнутой* поверхности по заданному *замкнутому* грассманову образу, то до нынешнего момента каких-либо общих утверждений доказано не было, т.к. здесь задача оказывается значительно сложнее. С аналитической точки зрения проблема восстановления сводится к решению системы линейных дифференциальных уравнений в частных

---

Mathematics Subject Classification 2000: 53A07.

\*Работа выполнена при частичной поддержке Министерства образования и науки Украины.

производных или к одному линейному дифференциальному уравнению второго порядка в частных производных, коэффициенты которого определяются заданной поверхностью  $\Gamma^2$ . При этом замечательным является тот факт, что тип уравнения как раз характеризуется значением кривизны  $\bar{K}$ , и если  $\bar{K} \neq 1$ , то уравнение будет либо гиперболическим, либо эллиптическим. Если же рассматривать восстановление замкнутой поверхности, то в общем случае задача сводится к трудной проблеме нахождения решения "в целом" линейного дифференциального уравнения второго порядка смешанного типа.

В данной работе мы рассматриваем один специальный класс замкнутых поверхностей в  $G(2, 4)$ . Поверхность  $\Gamma^2$  из этого класса обладает такими особыми свойствами, что поиск замкнутой поверхности  $F^2 \subset E^4$ , для которой  $\Gamma^2$  была бы грассмановым образом, сводится к обыкновенным дифференциальным уравнениям, что существенно облегчает анализ ситуации. Для того чтобы описать упомянутый класс поверхностей  $\Gamma^2$ , используем стандартное представление  $G_{2,4}$  в виде произведения двух двумерных сфер  $S_1^2 \times S_2^2$ . Произвольную точку  $p \in G_{2,4}$  запишем в виде  $(p_1, p_2)$ , где  $p_i \in S_i^2$ . Поверхность  $\Gamma^2$  естественно задавать с помощью ее проекций на сферы  $S_i^2$ . Предположим, что поверхность  $\Gamma^2$  при проекции на  $S_2^2$  отображается в линию — дугу некоторой большой окружности. Также будем предполагать, что если взять прообраз любой точки этой дуги, представляющий собой замкнутую кривую или набор замкнутых кривых на  $\Gamma^2$ , то при проекции на  $S_1^2$  он отображается на малую окружность из фиксированного семейства параллельных окружностей. Назовем такую  $\Gamma^2$  *поверхностью с вырожденной проекцией*. Отметим, что  $\Gamma^2$  является поверхностью вращения.

Основным вопросом является построение *замкнутой поверхности* в  $E^4$ , для которой заданная *замкнутая поверхность с вырожденной проекцией* в  $G(2, 4)$  была бы грассмановым образом. Мы исследуем возможность восстановления поверхностей двух типов — гомеоморфных сфере и тору. В первом разделе работы представлено локальное решение задачи восстановления: *указываются условия, необходимые и достаточные для того, чтобы заданная регулярная поверхность с вырожденной проекцией  $\Gamma^2$  в  $G_{2,4}$  была локально грассмановым образом некоторой регулярной поверхности вращения  $F^2$  в  $E^4$ , причем найдено конкретное выражение радиус-вектора  $F^2$  в терминах функций, задающих  $\Gamma^2$* . Как один из выводов, отметим, что в ситуации общего положения поверхность с вырожденной проекцией в  $G(2, 4)$  локально является грассмановым образом некоторой поверхности вращения в  $E^4$ .

Во втором и третьем разделах работы в теоремах 2 и 3 устанавливается возможность распространить полученные локальные условия на случай восстановления "в целом" замкнутых поверхностей вращения в  $E^4$ , гомеоморфных сфере и тору, по заданному замкнутому грассманову образу с вырожденной проекцией. А именно, *доказываются необходимые и достаточные*

аналитические условия того, что заданная замкнутая регулярная поверхность с вырожденной проекцией  $\Gamma^2$  в  $G_{2,4}$  является грассмановым образом некоторой регулярной поверхности вращения  $F^2$  в  $E^4$ , гомеоморфной сфере или тору.

Если грассманов образ замкнутой поверхности  $F^2 \subset E^4$  является поверхностью с вырожденной проекцией, то должны быть выполнены определенные топологические условия. В частности, если  $F^2 \subset E^4$  гомеоморфна сфере, то ее грассманов образ должен обладать свойством "двулистности" и обязательно будет содержать особые точки "ветвления". Подобные факты являются следствием общих утверждений топологического характера, которые обсуждаются в заключительном, четвертом разделе работы.

### 1. Локальное решение

Грассманово многообразие  $G_{2,4}$  состоит из ориентированных двумерных плоскостей, проходящих через фиксированную точку  $O$  в 4-мерном евклидовом пространстве  $E^4$ . Это — аналитическое многообразие, обладающее естественной римановой структурой глобально симметрического риманова пространства [4].

Рассмотрим стандартное вложение многообразия  $G_{2,4}$  в 6-мерное евклидово пространство  $E^6$ . Именно, пусть  $p^{12}, p^{13}, p^{14}, p^{23}, p^{24}, p^{34}$  — набор плюккеровых координат двумерной плоскости в  $E^4$ . Хорошо известно, что они удовлетворяют следующим двум уравнениям:

$$\sum_{i < j} (p^{ij})^2 = 1, \quad p^{12}p^{34} + p^{13}p^{42} + p^{14}p^{23} = 0. \quad (1)$$

Данные уравнения задают стандартное вложение  $G_{2,4}$  в  $E^6$ . Введем в  $E^6$  координаты  $\xi^i$  и  $\eta^i$  формулами

$$\begin{aligned} \xi^1 &= p^{12} + p^{34}, & \xi^2 &= p^{13} + p^{42}, & \xi^3 &= p^{14} + p^{23}, \\ \eta^1 &= p^{12} - p^{34}, & \eta^2 &= p^{13} - p^{42}, & \eta^3 &= p^{14} - p^{23}. \end{aligned} \quad (2)$$

Уравнения (1) с помощью введенных таким образом величин переписываются в следующем виде:

$$(\xi^1)^2 + (\xi^2)^2 + (\xi^3)^2 = 1, \quad (\eta^1)^2 + (\eta^2)^2 + (\eta^3)^2 = 1.$$

Эти уравнения задают единичные сферы  $S_i^2$  в двух трехмерных, ортогональных друг другу подпространствах. Каждой точке из грассманова многообразия  $G_{2,4}$  соответствует точка на каждой  $S_i^2$ , которую будем называть проекцией. Введем координаты на сферах  $S_i^2$  следующими формулами:

$$\xi = \begin{pmatrix} \xi^1 \\ \xi^2 \\ \xi^3 r \end{pmatrix} = \begin{pmatrix} \cos \theta \\ \sin \theta \sin \omega \\ \sin \theta \cos \omega \end{pmatrix}, \quad \eta = \begin{pmatrix} \eta^1 \\ \eta^2 \\ \eta^3 \end{pmatrix} = \begin{pmatrix} \cos \phi \cos \psi \\ \sin \psi \\ \sin \phi \cos \psi \end{pmatrix}. \quad (3)$$

Величины  $\theta, \omega, \phi, \psi$  можно принять за локальные координаты на  $G_{2,4}$ .

Рассмотрим специальную поверхность  $\Gamma^2 \subset G_{2,4}$ , задавая ее с помощью проекций на сферы  $S_i^2$ . Во-первых, будем предполагать, что  $\Gamma^2$  при проекции в сферу  $S_2^2$  отображается в некоторую большую окружность  $C^1 \subset S_2^2$ . Во-вторых, предположим, что набор кривых и изолированных точек на  $\Gamma^2$ , составляющих прообраз точки окружности  $C^1$ , при проекции в  $S_1^2$  отображаются в некоторую окружность из фиксированного семейства параллельных окружностей на  $S_1^2$  (см. рис. 1). Поверхность  $\Gamma^2$  с такими специальными свойствами будем называть *поверхностью с вырожденной проекцией*.

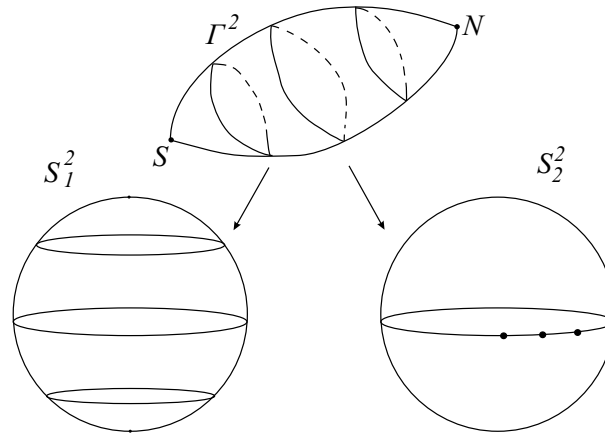


Рис. 1

Выясним, как поверхность с вырожденной проекцией задается аналитически в терминах  $\theta, \omega, \phi, \psi$ . Не уменьшая общности можно считать, что окружность  $C^1 \subset S_2^2$  задается уравнением  $\eta^2 = 0$ , т.е.  $\psi = 0$ . Точке этой окружности соответствует значение параметра  $\phi$ . В свою очередь, можно считать, что фиксированное выше семейство параллельных окружностей на  $S_1^2$  задается уравнением  $\theta = const$ . Тогда задание нашей поверхности  $\Gamma^2$  сводится к заданию  $\phi$  как функции от  $\theta$ , либо, более общо, заданию  $\theta$  и  $\phi$  как функций одного параметра  $t \in (a, b)$ :

$$\theta = \theta(t), \quad \phi = \phi(t).$$

Как следствие, радиус-вектор поверхности с вырожденной проекцией  $\Gamma^2$  запишется так:

$$\xi = \begin{pmatrix} \xi^1 \\ \xi^2 \\ \xi^3 \end{pmatrix} = \begin{pmatrix} \cos \theta(t) \\ \sin \theta(t) \sin \omega \\ \sin \theta(t) \cos \omega \end{pmatrix}, \quad \eta = \begin{pmatrix} \eta^1 \\ \eta^2 \\ \eta^3 \end{pmatrix} = \begin{pmatrix} \cos \phi(t) \\ 0 \\ \sin \phi(t) \end{pmatrix}. \quad (4)$$

Несложно убедиться в том, что условие регулярности заданной таким образом  $\Gamma^2$  будет иметь вид

$$((\theta')^2 + (\phi')^2) \sin^2 \theta \neq 0. \quad (5)$$

Отметим также, что поверхность  $\Gamma^2 \subset G_{2,4}$  получается вращением кривой  $L \subset E^6$  с радиус-вектором

$$\begin{aligned} \xi^1 &= \cos \theta(t), & \eta^1 &= \cos \phi(t), \\ \xi^2 &= \sin \theta(t), & \eta^2 &= 0, \\ \xi^3 &= 0, & \eta^3 &= \sin \phi(t), \end{aligned} \quad (6.1)$$

где соответствующую вращению в  $E^6$  матрицу из  $SO(6)$  можно записать относительно  $\xi^1, \dots, \eta^3$  в следующем виде:

$$\begin{pmatrix} 1 & 0 & 0 & 0 & 0 & 0 \\ 0 & \sin \omega & -\cos \omega & 0 & 0 & 0 \\ 0 & \cos \omega & \sin \omega & 0 & 0 & 0 \\ 0 & 0 & 0 & 1 & 0 & 0 \\ 0 & 0 & 0 & 0 & 1 & 0 \\ 0 & 0 & 0 & 0 & 0 & 1 \end{pmatrix}. \quad (6.2)$$

Рассмотрим теперь локальное решение задачи восстановления поверхности по заданному грассманову образу с вырожденной проекцией, т.е. найдем регулярную поверхность  $F^2$  в  $E^4$ , чей грассманов образ локально совпадал бы с заданной выше  $\Gamma^2 \subset G_{2,4}$ . Так как поверхность  $\Gamma^2$  имеет специальный вид, то искомую поверхность  $F^2$  в  $E^4$  естественно искать тоже в некотором специальном классе поверхностей. А именно, будем искать поверхность  $F^2$ , имеющую следующее параметрическое представление:

$$r(t, \alpha) = \begin{pmatrix} f(t) \cos \alpha \\ f(t) \sin \alpha \\ g(t) \cos \alpha \\ g(t) \sin \alpha \end{pmatrix}, \quad t_a < t < t_b, \quad \alpha_a \leq \alpha \leq \alpha_b, \quad (7)$$

где  $f(t)$  и  $g(t)$  — некоторые  $C^2$ -гладкие функции. Обозначим

$$\lambda^2 = ((f')^2 + (g')^2)(f^2 + g^2).$$

Легко проверить, что поверхность  $F^2$  регулярна тогда и только тогда, когда  $\lambda \neq 0$ .

Обозначим через  $l$  кривую в плоскости с координатами  $x^1, x^3$ , заданную радиус-вектором  $x^1 = f(t), x^3 = g(t)$ ; в качестве параметра  $t$  можем взять, например, длину дуги  $s$  кривой  $l$ . Тогда поверхность  $F^2$  с геометрической

точки зрения получается вращением кривой  $l$  в  $E^4$  вокруг начала координат  $O$ , а вращение задается следующей матрицей из  $SO(4)$ :

$$\begin{pmatrix} \cos \alpha & -\sin \alpha & 0 & 0 \\ \sin \alpha & \cos \alpha & 0 & 0 \\ 0 & 0 & \cos \alpha & -\sin \alpha \\ 0 & 0 & \sin \alpha & \cos \alpha \end{pmatrix}.$$

Если  $l$  сделает полный оборот на  $2\pi$ , получим цилиндрическую поверхность в  $E^4$ , граница которой будет состоять из двух окружностей радиусов  $\sqrt{f^2(a) + g^2(a)}$  и  $\sqrt{f^2(b) + g^2(b)}$  с центром в точке  $O$ .

Найдем грассманов образ такой поверхности. Радиус-вектор грассманова образа будем искать в виде

$$\vec{p} = \frac{[\partial_t r, \partial_\alpha r]}{|\partial_t r, \partial_\alpha r|}.$$

Находим выражения для производных касательных векторов поверхности  $F^2$ :

$$\partial_t r = \begin{pmatrix} f' \cos \alpha \\ f' \sin \alpha \\ g' \cos \alpha \\ g' \sin \alpha \end{pmatrix}, \quad \partial_\alpha r = \begin{pmatrix} -f \sin \alpha \\ f \cos \alpha \\ -g \sin \alpha \\ g \cos \alpha \end{pmatrix}$$

и далее получаем, что

$$\begin{aligned} p^{12} &= \frac{f' f}{\lambda}, & p^{13} &= \frac{f g' - f' g}{\lambda} \cos \alpha \sin \alpha, \\ p^{14} &= \frac{f' g \cos^2 \alpha + g' f \sin^2 \alpha}{\lambda}, & p^{23} &= -\frac{f' g \sin^2 \alpha + g' f \cos^2 \alpha}{\lambda}, \\ p^{24} &= \frac{f' g - f g'}{\lambda} \cos \alpha \sin \alpha, & p^{34} &= \frac{g' g}{\lambda}. \end{aligned}$$

Введем два угла  $\gamma$  и  $\sigma$  с помощью следующих равенств:

$$\frac{f}{\sqrt{f^2 + g^2}} = \cos \gamma, \quad \frac{g}{\sqrt{f^2 + g^2}} = \sin \gamma, \quad (8.1)$$

$$\frac{f'}{\sqrt{f'^2 + g'^2}} = \cos \sigma, \quad \frac{g'}{\sqrt{f'^2 + g'^2}} = \sin \sigma. \quad (8.2)$$

Очевидно,  $\gamma$  и  $\sigma$  — углы, которые составляют соответственно радиус-вектор и касательный вектор кривой  $l$  с осью  $x^1$  (см. рис. 2). С помощью этих углов радиус-вектор грассманова образа можно записать в следующем виде:

$$p^{12} = \cos \sigma \cos \gamma, \quad p^{14} = \cos \sigma \sin \gamma \cos^2 \alpha + \sin \sigma \cos \gamma \sin^2 \alpha,$$

$$p^{34} = \sin \sigma \sin \gamma, \quad p^{23} = -\cos \sigma \sin \gamma \sin^2 \alpha - \sin \sigma \cos \gamma \cos^2 \alpha, \\ p^{13} = \sin(\sigma - \gamma) \cos \alpha \sin \alpha, \quad p^{24} = \sin(\gamma - \sigma) \cos \alpha \sin \alpha.$$

Найдем проекции грассманаова образа на сферы  $S_1^2$  и  $S_2^2$ . После элементарных вычислений, используя (2), получаем

$$\xi = \begin{pmatrix} \cos(\gamma - \sigma) \\ \sin(\gamma - \sigma) \sin(-2\alpha) \\ \sin(\gamma - \sigma) \cos(-2\alpha) \end{pmatrix}, \quad \eta = \begin{pmatrix} \cos(\sigma + \gamma) \\ 0 \\ \sin(\sigma + \gamma) \end{pmatrix}. \quad (9)$$

Легко видеть, что грассманов образ  $F^2$  является как раз поверхностью с вырожденной проекцией. Более того, сравнивая выражения (9) векторов  $\xi$  и  $\eta$  с выражениями (4), получаем, не уменьшая общности, что грассманов образ рассматриваемой поверхности  $F^2$  совпадает с заданной поверхностью  $\Gamma^2$  в том и только в том случае, когда

$$\gamma - \sigma = \theta, \quad \sigma + \gamma = \phi, \quad (10.1)$$

$$\omega = -2\alpha. \quad (10.2)$$

Эти равенства, связывающие углы  $\gamma$ ,  $\sigma$ ,  $\alpha$  и  $\theta$ ,  $\phi$ ,  $\omega$ , являются выражением двойственности между поверхностями  $F^2 \subset E^4$  и  $\Gamma^2 \subset G(2, 4)$ . Заметим, что угол  $-\theta$  равен углу между радиус-вектором и касательным вектором кривой  $l$ .

Из (10.2) получаем, что  $\alpha = -\omega/2$ . Что касается условий (10.1), то они приобретают вид

$$\gamma = \frac{\theta + \phi}{2}, \quad \sigma = \frac{\phi - \theta}{2}. \quad (11)$$

Правые стороны этих равенств являются заданными функциями от  $\theta$  (или, в более общем случае, от  $t$ ). Подставляя найденные выражения для  $\gamma$  и  $\sigma$  в (8), получим набор из четырех уравнений для нахождения функций  $f(t)$  и  $g(t)$ . Первые два уравнения системы (8) разрешаются следующим образом:

$$f = \rho \cdot \cos\left(\frac{\theta + \phi}{2}\right), \quad g = \rho \cdot \sin\left(\frac{\theta + \phi}{2}\right), \quad (12)$$

где  $\rho = \rho(t)$  – произвольная функция. Условия на  $\rho$  накладывают третье и четвертое уравнения системы (8), имеющие вид:

$$\frac{f'}{\sqrt{f'^2 + g'^2}} = \cos\left(\frac{\phi - \theta}{2}\right), \quad \frac{g'}{\sqrt{f'^2 + g'^2}} = \sin\left(\frac{\phi - \theta}{2}\right). \quad (13)$$

Подставляя выражения (12) в уравнения (13), после несложных вычислений получаем, что функция  $\rho(t)$  должна удовлетворять системе

$$\frac{\rho'}{\sqrt{(\rho')^2 + \rho^2 \left(\frac{\theta' + \phi'}{2}\right)^2}} = \cos \theta, \quad (14.1)$$

$$\frac{\rho\left(\frac{\theta' + \phi'}{2}\right)}{\sqrt{(\rho')^2 + \rho^2\left(\frac{\theta' + \phi'}{2}\right)^2}} = -\sin\theta. \quad (14.2)$$

В результате получаем, что искомая функция  $\rho$  должна удовлетворять следующему уравнению:

$$\rho' \sin\theta + \rho\left(\frac{\theta' + \phi'}{2}\right) \cos\theta = 0. \quad (15)$$

Кроме того, необходимо учитывать и условие регулярности восстанавливаемой поверхности,  $\lambda \neq 0$ , которое вследствие (12) принимает вид

$$\rho^2\left((\rho')^2 + \rho^2\left(\frac{\theta' + \phi'}{2}\right)^2\right) \neq 0. \quad (16)$$

В случае, когда  $\sin\theta$  и  $\theta' + \phi'$  не обращаются в нуль при  $t \in (a, b)$ , решением уравнения (15) будет функция

$$\rho = C e^{-\int_{t_0}^t \operatorname{ctg}\theta \gamma' dt}, \quad \text{где } \gamma = \frac{(\theta + \phi)}{2};$$

здесь  $C$  — отличная от нуля постоянная, а  $t_0$  — произвольно зафиксированная точка из  $(a, b)$ . Такая функция  $\rho$  будет решением и системы (14), если постоянная  $C$  выбрана так, что  $\operatorname{sign}(C(\theta' + \phi')) = -\operatorname{sign}(\sin\theta)$ . Заметим, что интеграл в выражении для  $\rho$  является определенным при любом  $t \in (a, b)$ , поэтому функция  $\rho$  не обращается в нуль. Как следствие, будет выполнено условие регулярности (16).

Подставляя найденную функцию  $\rho$  в (12), получаем следующее представление для локального решения рассматриваемой задачи:

$$f = C e^{-\int_{t_0}^t \operatorname{ctg}\theta \frac{\phi' + \theta'}{2} dt} \cos \frac{\phi + \theta}{2}, \quad (17.1)$$

$$g = C e^{-\int_{t_0}^t \operatorname{ctg}\theta \frac{\phi' + \theta'}{2} dt} \sin \frac{\phi + \theta}{2}. \quad (17.2)$$



Очевидно, что если  $\theta(t), \phi(t)$  являются гладкими класса  $C^k$ , то найденные функции  $f$  и  $g$  тоже будут  $C^k$  гладкими.

Итак, по заданным функциям  $\theta(t)$  и  $\phi(t)$  мы восстановили функции  $f(t)$  и  $g(t)$ . Кроме того,  $\alpha = -\omega/2$ . Подставляя найденные функции в (7), получаем  $C^k$ -гладкое параметрическое представление регулярной поверхности вращения  $F^2 \subset E^4$ , чей грассманов образ совпадает с заданной поверхностью с вырожденной проекцией  $\Gamma^2 \subset G_{2,4}$ . Выбор постоянной  $C$  соответствует гомотетии  $F^2$  в  $E^4$ . Таким образом, для рассматриваемой задачи восстановления поверхности по заданному грассманову образу с вырожденной проекцией получено локальное решение.

**Теорема 1.** Пусть имеется регулярная поверхность с вырожденной проекцией  $\Gamma^2 \subset G_{2,4}$ , заданная радиус-вектором (4), где  $\psi = 0$ ,  $\omega \in (\omega_a, \omega_b)$ , а  $\theta(t), \phi(t) : (a, b) \rightarrow \mathbb{R}$  — гладкие класса  $C^k, k \geq 2$ , функции. Предположим, что  $\theta(t), \phi(t)$  удовлетворяют следующим условиям:

- 1)  $\sin \theta(t) \neq 0 \quad \forall t \in (a, b)$ ;
- 2)  $\theta'(t) + \phi'(t) \neq 0 \quad \forall t \in (a, b)$ .

Тогда существует  $C^k$ -регулярная поверхность  $F^2 \subset E^4$ , для которой  $\Gamma^2$  будет грассмановым образом. Эта поверхность задается радиус-вектором (7), где функции  $f, g$  имеют вид (17), а  $\alpha = -\omega/2$ .

Отметим, что если  $\omega$  пробегает отрезок  $[0, 4\pi]$ , то  $\alpha \in [-2\pi, 0]$ , а значит, с топологической точки зрения восстановленная поверхность  $F^2$  представляет собой цилиндр  $S^1 \times (a, b)$ , который  $C^k$ -гладко погружен в  $E^4$ . Как отмечалось выше, граница этой цилиндрической поверхности представляет собой две окружности с центром в начале координат  $O \in E^4$ , радиусы которых равны соответственно  $\sqrt{f(a)^2 + g(a)^2}$  и  $\sqrt{f(b)^2 + g(b)^2}$ .

Выясним геометрический смысл аналитических условий, представленных в теореме 1. Во-первых, из (3) очевидно, что условие  $\sin \theta(t) \neq 0$  эквивалентно тому, что поверхность с вырожденной проекцией  $\Gamma^2 \subset G(2, 4)$  при проекции на  $S_1^2$  не содержит точек, являющихся полюсами соответствующего семейства параллельных окружностей на  $S_1^2$ .

Далее, обратимся к условию  $\theta'(t) + \phi'(t) \neq 0$ . Для каждой точки поверхности  $\Gamma^2$  найдем секционную кривизну  $\bar{K}$  многообразия  $G(2, 4)$  по площадке, касательной к  $\Gamma^2$ . Прямым вычислением с помощью формул из [3, §8.7] несложно получить, что

$$\bar{K}(t, \omega) = \frac{2(\theta')^2}{(\theta')^2 + (\phi')^2}. \quad (18)$$

Из этой формулы вытекает, что значения  $\bar{K}$  зависят только от  $t$ , лежат в интервале  $[0, 2]$  и при этом  $\bar{K} = 1$  тогда и только тогда, когда  $(\theta')^2 - (\phi')^2 = 0$ . Поэтому из условия  $\bar{K} \neq 1$  сразу будет следовать, что  $\theta'(t) + \phi'(t) \neq 0$ .

В свою очередь, сравнение  $\overline{K}$  с 1 лежит в основе следующей классификации. А именно, если в точке  $P \in \Gamma^2$  кривизна многообразия  $G(2, 4)$  по площадке, касательной к  $\Gamma^2$ , больше (меньше либо равна) 1, то точка  $P$  называется эллиптической (гиперболической либо параболической, соответственно) [1, 3]. Эта общая классификация играет важную роль при изучении различных свойств грассманова образа. В применении к задаче, исследуемой в настоящей работе, получаем, что если поверхность с вырожденной проекцией  $\Gamma^2$  не содержит параболических точек ( $\overline{K} = 1$ ), то тогда  $\theta'(t) + \phi'(t)$  не обращается в нуль.

Таким образом, мы можем дать новую (несколько ослабленную) формулировку теоремы 1.

**Теорема 1\*.** Пусть имеется регулярная поверхность с вырожденной проекцией  $\Gamma^2 \subset G_{2,4}$ , гладкая класса  $C^k$ ,  $k \geq 2$ . Предположим, что выполнены следующие условия:

- 1) поверхность  $\Gamma^2$  при проекции на  $S_1^2$  не содержит точек — полюсов соответствующего семейства параллельных окружностей на  $S_1^2$ ;
- 2) поверхность  $\Gamma^2$  не содержит параболических точек.

Тогда существует  $C^k$ -регулярная поверхность вращения  $F^2 \subset E^4$ , для которой  $\Gamma^2$  будет грассмановым образом.

В завершение этого раздела, найдем выражение для длины дуги  $s$  восстанавливаемой кривой  $l$  в терминах функций  $\phi', \theta'$ . Так как  $\frac{ds}{dt} = \sqrt{(f')^2 + (g')^2}$ , то, принимая во внимание (17), получаем

$$\left| \frac{ds}{dt} \right| = \left| \rho \frac{1}{\sin \theta} \frac{\theta' + \phi'}{2} \right|. \quad (19)$$

Поэтому, если выполнены условия  $\sin \theta(t) \neq 0$  и  $\theta'(t) + \phi'(t) \neq 0 \quad \forall t \in (a, b)$ , то  $l$  регулярно параметризуется параметром  $t$ , а сама восстановленная поверхность  $F^2$  регулярно параметризуется координатами  $t, \omega$ , перенесенными с грассманова образа  $\Gamma^2$ . Напротив, в исключенном нами из рассмотрения случае, когда  $\sin \theta$  или  $\theta' + \phi'$  обращаются в каких-то точках в нуль, возникают определенные сложности с восстановлением кривой  $l$ : может случиться так, что эту кривую уже нельзя будет регулярно параметризовать с помощью  $t$ , т.е. ситуация требует дополнительного анализа, который частично и проведем.

Предположим, что  $\sin \theta$  и  $\theta' + \phi'$  не обращаются в нуль при  $t \in (a, b)$ , но при приближении к граничной точке выполняется  $\lim_{t \rightarrow a+0} \sin \theta(t) = 0$  и

$\lim_{t \rightarrow a+0} \theta' + \phi' \neq 0$ . Выясним поведение функции  $\rho(t) = C e^{-\int_{t_0}^t \operatorname{ctg} \theta \frac{\phi' + \theta'}{2} dt}$  вблизи

$t = a$ . Ясно, что в рассматриваемом случае интеграл  $\int_{t_0}^a ctg\theta \frac{\phi'+\theta'}{2} dt$  будет уже расходящимся. Если  $\text{sign}(ctg\theta(\phi'+\theta')) \rightarrow 1$  при  $t \rightarrow a$ , то этот интеграл будет равен  $-\infty$ , а значит,  $\lim_{t \rightarrow a+0} \rho(t) = \pm\infty$ . Если же  $\text{sign}(ctg\theta(\phi'+\theta')) \rightarrow -1$  при  $t \rightarrow a$ , то интеграл будет равен  $+\infty$ , и следовательно,  $\lim_{t \rightarrow a+0} \rho(t) = 0$ . Таким образом, при сделанном предположении получаем, что начальная точка восстановленной кривой  $l$  будет либо на бесконечности, либо в начале координат.

Предположим теперь, что  $\sin\theta$  и  $\theta'+\phi'$  не обращаются в нуль при  $t \in (a, b)$ , но  $\lim_{t \rightarrow a+0} \sin\theta(t) \neq 0$  и  $\lim_{t \rightarrow a+0} \theta'+\phi' = 0$  при  $t \rightarrow a+0$ . Снова выясним поведение

функции  $\rho(t) = Ce^{-\int_{t_0}^t ctg\theta \frac{\phi'+\theta'}{2} dt}$  вблизи  $t = a$ . В рассматриваемом случае интеграл  $\int_{t_0}^a ctg\theta \frac{\phi'+\theta'}{2} dt$  будет уже определенным, а значит,  $\lim_{t \rightarrow a+0} \rho(t)$  равен некоторому числу, отличному от нуля. В то же время, т.к.  $\rho' = -\rho ctg\theta \left(\frac{\theta'+\phi'}{2}\right)$ ,

то в результате сделанных предположений получаем  $\lim_{t \rightarrow a+0} \rho' = 0$ .

Следовательно, и в первом, и во втором рассмотренных случаях в предельной точке  $t = a$  будет нарушаться условие регулярности (16).

Предположим, наконец, что  $\sin\theta$  и  $\theta'+\phi'$  не обращаются в нуль при  $t \in (a, b)$ , но  $\lim_{t \rightarrow a+0} \sin\theta(t) = 0$  и  $\lim_{t \rightarrow a+0} \theta'+\phi' = 0$  одновременно. Поведе-

ние функции  $\rho(t) = Ce^{-\int_{t_0}^t ctg\theta \frac{\phi'+\theta'}{2} dt}$  вблизи  $t = a$  теперь будет зависеть от  $\lim_{t \rightarrow a+0} \frac{\theta'+\phi'}{\sin\theta}$ . Если этот предел расходитя либо равен нулю, то мы оказываемся в одной из описанных ситуаций. Если же предел конечен и не равен

нулю, то интеграл  $\int_{t_0}^a ctg\theta \frac{\phi'+\theta'}{2} dt$  будет определенным, а значит, при  $t \rightarrow a$  функция  $\rho$  стремится к некоторому числу  $\rho(a)$ , отличному от нуля. Кроме того,  $\lim_{t \rightarrow a+0} \rho' = \lim_{t \rightarrow a+0} -\rho ctg\theta \left(\frac{\theta'+\phi'}{2}\right)$  тоже будет отличен от нуля. Легко видеть, что в этом случае условие регулярности при  $t = a$  уже будет выполнено.

Аналогичным образом можно проанализировать и поведение функции  $\rho$  при  $t \rightarrow b - 0$ . Единственным отличием является необходимость учитывать, что  $a < t_0$ , тогда как  $b > t_0$ .

Как следствие, теорему 1 можно обобщить. А именно, можно допускать, что на интервале  $(a, b)$  есть изолированные точки  $a = t_1 < \dots < t_j = b$ , в которых  $\sin\theta$  и/или  $\theta'+\phi'$  обращаются в нуль. Разобьем  $(a, b)$  этими точками на меньшие интервалы и на каждом из них восстановим кривую  $l_i$  с радиус-вектором вида (17). Таким образом, получим набор кривых. Контролируя

поведение этих кривых в начальных и конечных точках, можно попытаться склеить из них регулярную класса  $C^1$  кривую  $l$ , которая и давала бы решение задачи для всего интервала  $(a, b)$ . Проведенный анализ показывает, что допустимым является лишь тот вариант, когда отношение  $\frac{\theta' + \phi'}{\sin \theta}$  имеет конечный, отличный от нуля, предел при  $t \rightarrow t_i$ . В противном случае, либо кривая будет проходить через начало координат ( $\rho = 0$ ), либо будет разрываться, уходя на бесконечность, либо будет нарушена ее регулярность ( $\rho' = 0$ ). Дополнительная сложность заключается в обеспечении для "склеенной" кривой  $l$  регулярности более высокого класса, чем  $C^1$ .

## 2. Восстановление поверхностей, гомеоморфных сфере

Теперь обратимся к задаче восстановления *замкнутых поверхностей*  $F^2$  в  $E^4$  по заданному *замкнутому грассманову образу с вырожденной проекцией*. Сразу отметим, что, с топологической точки зрения, среди рассматриваемых нами поверхностей вращения с радиус-вектором вида (7) любая замкнутая поверхность будет либо тором, либо сферой. Если кривая  $l$ , в результате вращения которой получается  $F^2$ , замкнута и не проходит через начало координат  $O$ , то  $F^2$  будет представлять собой тор. Если же кривая  $l$  замкнута и проходит через начало координат  $O$ , то  $F^2$  будет представлять собой погруженную в  $E^4$  сферу, для которой точка  $O$  станет точкой самопересечения. Поверхностей иного топологического типа мы получить не можем. Восстановление торических поверхностей обсудим в следующем разделе, сейчас же остановимся на сферическом случае.

Вращением кривой  $l$  можно получить погруженную в  $E^4$  сферу, если  $l$  проходит через начало координат. Мы ограничимся рассмотрением того случая, когда кривая  $l$  подходит к началу координат  $O$  вдоль отрезков  $OA$  и  $OB$ , т.е. имеет форму, изображенную на рис. 2.

В этом случае  $OA$  и  $OB$  при вращении опишут два плоских диска  $D_A$  и  $D_B$  с центром  $O$ , а оставшаяся часть  $\tilde{l} = AB$  кривой  $l$  при вращении опишет цилиндрическую поверхность  $\tilde{F}^2$ . Поверхность  $F^2$ , которая получается вращением кривой  $l$ , состоит, очевидно, из цилиндра  $\tilde{F}^2$ , к которому "подклеены" диски  $D_A$  и  $D_B$ . Таким образом,  $F^2$  действительно представляет собой погруженную в  $E^4$  сферу, для которой точка  $O$  будет точкой самопересечения. Описание построения подобных поверхностей в частном случае дано в работе [5]. Интересно отметить, что такие поверхности имеют ненулевой инвариант Уитни.

Ясно, что грассманов образ  $\Gamma^2$  поверхности  $F^2$ , в свою очередь, будет состоять из грассманова образа  $\tilde{\Gamma}^2$  цилиндрической поверхности  $\tilde{F}^2$ , компактифицированного двумя точками — грассмановыми образами плоских дисков

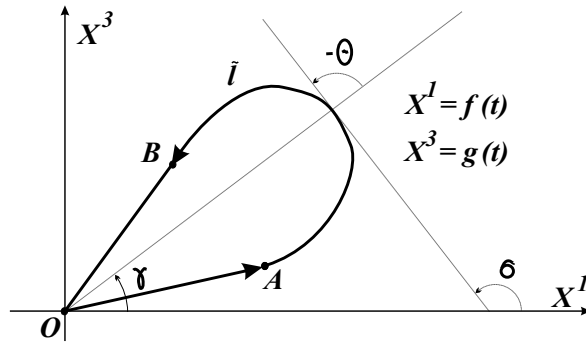


Рис.2

$D_A$  и  $D_B$ . Поэтому для восстановления поверхности  $F^2$  по ее грассманову образу  $\Gamma^2$  мы должны восстановить сначала поверхность  $\tilde{F}^2$ , воспользовавшись теоремой 1, а затем суметь "заклеить"  $\tilde{F}^2$  двумя плоскими дисками, причем сделать это необходимо так, чтобы была обеспечена регулярность соответствующего порядка поверхности  $F^2$ .

Итак, какими же свойствами должна обладать замкнутая поверхность с вырожденной проекцией  $\Gamma^2 \subset G_{2,4}$ , чтобы восстанавливаемая кривая  $l$  была бы описанной формы (рис. 2), а поверхность  $F^2$ , как следствие, представляла бы собой погруженную в  $E^4$  сферу?

**Теорема 2.** Пусть имеется поверхность с вырожденной проекцией  $\Gamma^2 \subset G_{2,4}$ , которая задана радиус-вектором (4), где  $\psi = 0$ ,  $\omega \in [0, 4\pi]$ , а  $\theta(t)$ ,  $\phi(t) : [a, b] \rightarrow \mathbb{R}$  — гладкие класса  $C^k$ ,  $k \geq 2$ , функции, удовлетворяющие следующим условиям:

1)  $\sin \theta(t) \neq 0 \quad \forall t \in (a, b)$ ;

2)  $\theta'(t) + \phi'(t) \neq 0 \quad \forall t \in (a, b)$ ;

3)  $\theta(a) = 0, \quad \theta(b) = -\pi$ ;

4)  $\lim_{t \rightarrow a+0} \frac{\phi' + \theta'}{\sin \theta}$  и  $\lim_{t \rightarrow b-0} \frac{\phi' + \theta'}{\sin \theta}$  существуют и отличны от нуля;

5)  $(\phi' + \theta')/\sin \theta < 0 \quad \forall t \in [a, b]$ ;

6) при  $t \rightarrow a+0$  и  $t \rightarrow b-0$  имеют место равенства  $\theta' = 0, \dots, \theta^{(k-1)} = 0$ .

Тогда существует  $C^k$ -регулярная замкнутая поверхность  $F^2$  в  $E^4$ , являющаяся погруженной сферой, для которой  $\Gamma^2$  будет грассмановым образом.

Прежде чем доказать эту теорему, сделаем несколько замечаний. Из свойств функций  $\theta(t)$ ,  $\phi(t)$  прямо следует, что поверхность  $\Gamma^2$  действительно является замкнутой и, кроме того, регулярной всюду, за исключением

двух особых точек  $\bar{S}(t = b)$  и  $\bar{N}(t = a)$ , проектирующихся на  $S_1^2$  в полюса  $S(\theta = -\pi)$  и  $N(\theta = 0)$ . При проекции  $\Gamma^2 \rightarrow S_1^2$  сфера  $S_1^2$  покрывается полностью, а т.к.  $\omega \in [0, 4\pi]$ , то при любом фиксированном  $t \in (a, b)$  соответствующая параллель на  $S_1^2$  будет накрыта дважды, как и ее кривая-образ на  $\Gamma^2$ . То есть вполне уместно употребить к рассматриваемой в теореме 2 поверхности  $\Gamma^2$  термин "двулистная", а две ее особые точки  $\bar{S}$  и  $\bar{N}$  естественно называть "точками ветвления". Условие двулистности является необходимым для того, чтобы поверхность с вырожденной проекцией  $\Gamma^2$  была грассмановым образом погруженной в  $E^4$  сферы, как это следует из нижеследующих в четвертом разделе общих результатов.

**Доказательство теоремы.** Будем следовать доказательству теоремы 1. Рассмотрим регулярную незамкнутую поверхность  $\tilde{\Gamma}^2$ , которая получается из  $\Gamma^2$  удалением двух особых точек ветвления  $\bar{S}$  и  $\bar{N}$ , т.е. разрешим  $t$  меняться в открытом интервале  $(a, b)$ . Все условия теоремы 1 для  $\tilde{\Gamma}^2$  выполнены, поэтому можем построить регулярную класса  $C^k$  цилиндрическую поверхность  $\tilde{F}^2 \subset E^4$  с радиус-вектором вида (7), для которой  $\tilde{\Gamma}^2$  будет грассмановым образом. По построению,  $\tilde{F}^2$  получается вращением регулярной класса  $C^k$  плоской кривой  $\tilde{l}$  с радиус-вектором (17). При этом  $\tilde{l}$  делает один полный оборот  $\alpha \in [-2\pi, 0]$ , т.к.  $\omega \in [0, 4\pi]$  по предположению и  $\alpha = -\omega/2$  по построению. Кроме того, как уже отмечалось в конце предыдущего раздела, кривая  $\tilde{l}$  регулярно класса  $C^k$  параметризована переменной  $t$ . Зафиксируем на  $\tilde{l}$  соответствующую  $t$  ориентацию.

Задача состоит теперь в доказательстве того факта, что к кривой  $\tilde{l}$  можно добавить отрезки  $OA$  и  $BO$  так, чтобы полученная замкнутая кривая  $l = OA \cup \tilde{l} \cup BO$  была бы регулярной класса  $C^k$ .

Напомним, что  $-\theta$  является углом между радиус-вектором кривой  $\tilde{l}$  и касательным вектором. Поэтому условие 3) в формулировке теоремы как раз говорит о том, что в начальной точке  $A$  радиус-вектор сонаправлен с касательным вектором, а в конечной точке  $B$  — противоположно направлен. Поэтому, если у радиус-вектора и касательного вектора существуют отличные от нуля предельные значения в точках  $A(t = a)$  и  $B(t = b)$ , то вследствие условия 3) теоремы можем добавить к  $\tilde{l}$  отрезки  $OA$  и  $BO$  и получить  $C^1$ -регулярную кривую  $l$ .

По формуле (17) радиус-вектор кривой  $\tilde{l}$  имеет вид

$$\begin{pmatrix} f \\ g \end{pmatrix} = \rho \begin{pmatrix} \cos \gamma \\ \sin \gamma \end{pmatrix}, \quad t \in (a, b),$$

где

$$\rho = C e^{-\int_{t_0}^t \operatorname{ctg} \theta \gamma' dt}, \quad \gamma = \frac{\phi + \theta}{2},$$

$C$  — константа,  $t_0 \in (a, b)$ .

Рассмотрим предельное поведение функции  $\rho$  при  $t \rightarrow a + 0$ . Так как  $\theta \rightarrow 0$  при  $t \rightarrow a$ , то интеграл  $\int_{t_0}^a ctg\theta \gamma' dt$  будет несобственным. С другой стороны, в условии 4) теоремы предполагается, что  $\lim_{t \rightarrow a+0} \frac{\gamma'}{\sin \theta}$  существует и отличен от нуля. Поэтому можно утверждать, что указанный интеграл сходится, а значит, существует отличный от нуля предел функции  $\rho$  при  $t \rightarrow a + 0$ , который обозначим  $\rho(a)$ . Таким образом, начальная точка  $A$  кривой  $\tilde{l}$  отлична от начала координат  $O$ .

Далее, так как

$$\rho' = -\rho ctg\theta \gamma', \quad (20)$$

то легко видеть, что предел  $\rho'$  при  $t \rightarrow a$  также существует и отличен от нуля. Учитывая, что  $\gamma' \rightarrow 0$  по предположению, получаем, что у касательного вектора  $(f', g')$  существует предельное положение при  $t \rightarrow a$ :

$$\lim_{t \rightarrow a+0} \begin{pmatrix} f' \\ g' \end{pmatrix} = \lim_{t \rightarrow a+0} \begin{pmatrix} \rho' \cos \gamma - \rho \gamma' \sin \gamma \\ \rho' \sin \gamma + \rho \gamma' \cos \gamma \end{pmatrix} = \rho'(a) \begin{pmatrix} \cos \gamma(a) \\ \sin \gamma(a) \end{pmatrix}.$$

Очевидно, что это предельное положение касательного вектора коллинеарно самому радиус-вектору кривой в начальной точке  $A$ . Кроме того, радиус-вектор и касательный вектор будут сонаправлены, если знаки  $\rho(a)$  и  $\rho'(a)$  совпадают, и противоположно направлены, если знаки отличаются. Принимая во внимание (20), из условия 5) теоремы следует, что знаки  $\rho(a)$  и  $\rho'(a)$  совпадают, т.е. касательный вектор кривой  $\tilde{l}$  будет коллинеарен радиус-вектору в точке  $A$ . Таким образом, благодаря предположениям 3)–5) теоремы, мы действительно можем добавить к кривой  $\tilde{l}$  отрезок  $OA$  и получить гладкую класса  $C^1$  регулярную кривую.

Установим теперь, используя условия 6) теоремы, что такая "склейка" будет не только  $C^1$ , но и  $C^k$  гладкой,  $k > 1$ . Для этого покажем, что векторы  $(f^{(2)}, g^{(2)}), \dots, (f^{(k)}, g^{(k)})$  все имеют предельные положения при  $t \rightarrow a$ , коллинеарные радиус-вектору  $(f(a), g(a))$ .

Вторая производная радиус-вектора

$$\begin{pmatrix} f \\ g \end{pmatrix}^{(2)} = (\rho^{(2)} + \rho(\gamma')^2) \begin{pmatrix} \cos \gamma \\ \sin \gamma \end{pmatrix} - (2\rho'\gamma' + \rho\gamma^{(2)}) \begin{pmatrix} -\sin \gamma \\ \cos \gamma \end{pmatrix}$$

при  $t \rightarrow a$  будет иметь следующее предельное положение:

$$\lim_{t \rightarrow a} \begin{pmatrix} f \\ g \end{pmatrix}^{(2)} = \lim_{t \rightarrow a} \rho^{(2)} \begin{pmatrix} \cos \gamma(a) \\ \sin \gamma(a) \end{pmatrix} - \rho(a) \lim_{t \rightarrow a} \gamma^{(2)} \begin{pmatrix} -\sin \gamma(a) \\ \cos \gamma(a) \end{pmatrix},$$

т.к. предполагается, что  $\gamma' \rightarrow 0$ , а  $\rho(a)$  и  $\rho'(a)$  конечны. Этот предел существует и коллинеарен радиус-вектору при  $t \rightarrow a$  лишь в том случае, когда  $\gamma^{(2)} \rightarrow 0$ , а для  $\rho^{(2)}$  существует конечный предел. Что касается второй производной функции  $\rho(t)$ , то для нее получаем

$$\rho^{(2)} = \rho \left( ctg^2\theta(\gamma')^2 + \gamma' \frac{\theta'}{\sin^2\theta} - ctg\theta\gamma^{(2)} \right). \quad (21)$$

Первое слагаемое в скобках в (21) имеет отличный от нуля предел по предположению 4) теоремы. Покажем, что сумма второго и третьего слагаемых в пределе стремится к нулю. По правилу Лопиталья

$$\lim_{t \rightarrow a} \frac{\gamma'}{\sin\theta} = \lim_{t \rightarrow a} \frac{\gamma^{(2)}}{\theta' \cos\theta} = \lim_{t \rightarrow a} \frac{\gamma^{(2)}}{\theta'}. \quad (22)$$

Следовательно,

$$\begin{aligned} \lim_{t \rightarrow a} \left( \gamma' \frac{\theta'}{\sin^2\theta} - ctg\theta\gamma^{(2)} \right) &= \lim_{t \rightarrow a} \left( \frac{\gamma^{(2)}}{\theta'} \frac{\theta'}{\sin\theta} - ctg\theta\gamma^{(2)} \right) \\ &= \lim_{t \rightarrow a} \left( \frac{\gamma^{(2)}}{\sin\theta} (1 - \cos\theta) \right) = \lim_{t \rightarrow a} \gamma^{(2)} \left( \frac{2 \sin^2(\theta/2)}{\sin\theta} (1 - \cos\theta) \right) = 0. \end{aligned}$$

Поэтому

$$\lim_{t \rightarrow a} \rho^{(2)} = \rho(a) \lim_{t \rightarrow a} ctg^2\theta(\gamma')^2,$$

а значит, предельное значение  $\rho^{(2)}(a)$  существует и отлично от нуля.

Итак, остается лишь условие  $\gamma^{(2)} \rightarrow 0$  при  $t \rightarrow a$ . Если оно выполнено, то у второй производной радиус-вектора действительно существует предел, коллинеарный самому радиус-вектору, и в результате в точке  $A$  отрезок  $OA$  приклеивается к кривой  $\tilde{l}$  гладко класса  $C^2$ . Действуя тем же методом, не составляет особого труда показать, что если выполнены условия  $\gamma^{(2)} \rightarrow 0, \dots, \gamma^{(k)} \rightarrow 0$  при  $t \rightarrow a$ , то отрезок  $OA$  приклеивается к кривой  $\tilde{l}$  гладко класса  $C^k$ .

Покажем, что условия  $\gamma^{(2)} \rightarrow 0, \dots, \gamma^{(k)} \rightarrow 0$  эквивалентны условиям 6) в формулировке теоремы. Действительно, принимая во внимание (22), т.к. предел существует и отличен от нуля, то  $\gamma^{(2)} \rightarrow 0$  тогда и только тогда, когда  $\theta' \rightarrow 0$ . Далее, применяя к (22) правило Лопиталья, получаем, что  $\gamma^{(i)} \rightarrow 0$  тогда и только тогда, когда  $\theta^{(i-1)} \rightarrow 0, i = \overline{2, k}$ . Следовательно, условия на функцию  $\gamma$  можем заменить эквивалентными условиями на функцию  $\theta$ , которые как раз и составляют предположение 6) в формулировке теоремы.

Аналогичный анализ имеет место и для конечной точки  $B(t \rightarrow b)$  кривой  $\tilde{l}$ .



Таким образом, кривая  $\tilde{l}$  вместе с отрезками  $OA$  и  $BO$  образуют гладкую класса  $C^k$  кривую  $l$ . При вращении кривой  $l$  получаем замкнутую поверхность  $F^2 \subset E^4$ , представляющую собой регулярно класса  $C^k$  погруженную сферу. Из рассуждений, предваряющих теорему, легко видеть, что грассманов образ построенной замкнутой поверхности вращения  $F^2 \subset E^4$  как раз и есть заданная замкнутая поверхность  $\Gamma^2 \subset G(2, 4)$ . ■

**З а м е ч а н и е о б о с о б ы х т о ч к а х.** Остановимся еще раз на форме рассматриваемой замкнутой поверхности с вырожденной проекцией  $\Gamma^2$ . Как уже было отмечено, эта поверхность получается вращением кривой с радиус-вектором (6.1), матрица вращения имеет вид (6.2), при этом кривая делает два полных оборота, т.к. по условию теоремы  $\omega \in [0, 4\pi]$ . Поверхность  $\Gamma^2$  регулярна всюду, за исключением двух точек ветвления  $\bar{S}(t = b)$  и  $\bar{N}(t = a)$ :

$$\begin{aligned} \bar{S}(\xi^1 = -1, \xi^2 = 0, \xi^3 = 0, \eta^1 = \cos \phi(b), \eta^2 = 0, \eta^3 = \sin \phi(b)), \\ \bar{N}(\xi^1 = 1, \xi^2 = 0, \xi^3 = 0, \eta^1 = \cos \phi(b), \eta^2 = 0, \eta^3 = \sin \phi(b)), \end{aligned}$$

которые при вращении (6.2) остаются на месте. Легко вычислить, что при  $t \rightarrow a$  касательная прямая вращаемой кривой займет предельное положение, направляющим вектором которого будет

$$(\xi^1 = 0, \xi^2 = \cos A, \xi^3 = 0, \eta^1 = -\sin \sin \phi(a), \eta^2 = 0, \eta^3 = \sin \cos \phi(a)),$$

где  $\cos A = \lim_{t \rightarrow a} \frac{\theta'}{\sqrt{(\theta')^2 + (\phi')^2}}$ ,  $\sin A = \lim_{t \rightarrow a} \frac{\phi'}{\sqrt{(\theta')^2 + (\phi')^2}}$ . Соответственно при вращении (6.2) получим дважды покрытый конус, касательный к  $\Gamma^2$  в сингулярной точке  $\bar{N}$ . Аналогично, в нерегулярной точке ветвления  $\bar{S}$  у поверхности  $\Gamma^2$  вместо касательной плоскости также будет дважды покрытый касательный конус.

### 3. Восстановление поверхностей, гомеоморфных тору

Поверхность вращения  $F^2 \subset E^4$  с радиус-вектором вида (7) будет гомеоморфной тору, если вращаемая кривая  $l$  замкнута и не проходит через начало координат. Поэтому можем воспользоваться доказанной теоремой 1, но добавив дополнительное условие на грассманов образ, обеспечивающее гладкую "склежку" начальной и конечной точек восстанавливаемой кривой  $l$ .

**Теорема 3.** Пусть имеется регулярная поверхность с вырожденной проекцией  $\Gamma^2 \subset G_{2,4}$ , заданная радиус-вектором (4), где  $\psi = 0$ ,  $\omega \in [0, 4\pi]$ , а  $\theta(t)$ ,  $\phi(t) : [a, b] \rightarrow R$  — гладкие класса  $C^k$ ,  $k \geq 2$ , функции. Предположим, что  $\theta(t)$ ,  $\phi(t)$  удовлетворяют следующим условиям:

$$1) \sin \theta(t) \neq 0 \quad \forall t \in [a, b];$$

$$2) \theta'(t) + \phi'(t) \neq 0 \quad \forall t \in [a, b];$$

$$3) \int_a^b ctg\theta(\phi' + \theta')dt = 0;$$

$$4) \theta(b) = \theta(a), \quad \phi(b) = \phi(a) + 4\pi k, k \in Z;$$

$$\theta'(b) = \theta'(a), \quad \phi'(b) = \phi'(a),$$

... ..

$$\theta^{(k-1)}(b) = \theta^{(k-1)}(a), \quad \phi^{(k-1)}(b) = \phi^{(k-1)}(a);$$

$$\phi^{(k)}(b) + \theta^{(k)}(b) = \phi^{(k)}(a) + \theta^{(k)}(a).$$

Тогда существует  $C^k$ -регулярная замкнутая поверхность  $F^2$  в  $E^4$ , гомотопная тору, для которой  $\Gamma^2$  будет грасмановым образом. Эта поверхность задается радиус-вектором (7), где функции  $f, g$  имеют вид (17), а  $\alpha = -\omega/2$ .

**Доказательство.** Применяем теорему 1 и восстанавливаем кривую  $l$  (см. разд. 1). Осталось доказать, что начальная и конечная точки кривой  $l$  совпадают, т.е.  $f(a) = f(b), g(a) = g(b)$ , и кроме того, совпадают все производные до  $k$ -й включительно, т.е.

$$f'(a) = f'(b), \dots, f^{(k)}(a) = f^{(k)}(b); \quad g'(a) = g'(b), \dots, g^{(k)}(a) = g^{(k)}(b).$$

По формуле (17) имеем

$$f = \rho \cos \gamma, \quad g = \rho \sin \gamma,$$

где

$$\rho = C e^{-\int_{t_0}^t ctg\theta \gamma' dt}, \quad \gamma = \frac{\phi + \theta}{2},$$

$C$  — константа,  $t_0 \in (a, b)$ . Поэтому условие  $f(a) = f(b), g(a) = g(b)$  перепишем следующим образом:

$$\rho(b) = \rho(a), \tag{23}$$

$$\gamma(b) = \gamma(a) + 2\pi m, m \in Z. \tag{24}$$

Далее находим первые производные

$$f' = \rho' \cos \gamma - \rho \gamma' \sin \gamma,$$

$$g' = \rho' \sin \gamma + \rho \gamma' \cos \gamma;$$

Теперь, принимая во внимание (23)–(24), легко видеть, что  $f'(a) = f'(b)$ ,  $g'(a) = g'(b)$  тогда и только тогда, когда

$$\rho'(b) = \rho'(a), \quad (25)$$

$$\gamma'(b) = \gamma'(a). \quad (26)$$

Продолжая аналогичным образом, можно получить, что значения оставшихся производных функций  $f$  и  $g$ , со второй по  $k$ -ю, совпадают при  $t = a$  и  $t = b$  тогда и только тогда, когда

$$\rho''(b) = \rho''(a), \quad \dots \quad \rho^{(k)}(b) = \rho^{(k)}(a), \quad (27)$$

$$\gamma''(b) = \gamma''(a), \quad \dots \quad \gamma^{(k)}(b) = \gamma^{(k)}(a). \quad (28)$$

Перепишем условия (23)–(28) в терминах функций  $\theta(t)$ ,  $\phi(t)$ . Равенства (24), (26), (28) приобретают следующий вид:

$$\theta(b) + \phi(b) = \theta(a) + \phi(a) + 4\pi m, \quad m \in Z; \quad (29)$$

$$\theta^{(i)}(b) + \phi^{(i)}(b) = \theta^{(i)}(a) + \phi^{(i)}(a), \quad i = \overline{1, k}. \quad (30)$$

Обратимся к условиям (23), (25), (27), воспользовавшись выписанным ранее выражением для функции  $\rho$ . Легко видеть, что (23) выполняется, т.е.  $\rho(a)$  совпадает с  $\rho(b)$  тогда и только тогда, когда

$$\int_a^b \operatorname{ctg}\theta \frac{\phi' + \theta'}{2} dt = 0. \quad (23')$$

Находим теперь первую производную:  $\rho' = -\rho \operatorname{ctg}\theta \gamma'$ . Следовательно, если имеют место равенства (23) и (26), условие  $\rho'(b) = \rho'(a)$  будет выполнено тогда и только тогда, когда  $\operatorname{ctg}\theta(b) = \operatorname{ctg}\theta(a)$ . Так как  $\sin \theta$  не обращается в нуль, получаем

$$\theta(b) = \theta(a). \quad (25')$$

Далее находим вторую производную:

$$\rho^{(2)} = -\rho' \operatorname{ctg}\theta \gamma' + \rho \frac{\theta'}{\sin^2 \theta} \gamma' - \rho \operatorname{ctg}\theta \gamma^{(2)}.$$

Следовательно, если имеют место равенства (3.1)–(3.4) и также  $\gamma^{(2)}(b) = \gamma^{(2)}(a)$ , то условие  $\rho^{(2)}(b) = \rho^{(2)}(a)$  будет выполнено тогда и только тогда, когда  $\theta'(b) = \theta'(a)$ . Аналогично, продолжая дифференцировать функцию  $\rho$

и применяя уже найденные условия на функции  $\phi$  и  $\theta$ , получим, что условие (27) будет выполнено тогда и только тогда, когда

$$\theta'(b) = \theta'(a), \quad \dots \quad \theta^{(k-1)}(b) = \theta^{(k-1)}(a). \quad (27')$$

Таким образом, условия (23)–(28) на функции  $\rho, \gamma$  эквивалентны условиям (23'), (25'), (27') и (29)–(30) на функции  $\theta, \phi$ . Теперь, воспользовавшись равенствами (25') и (27'), можем переписать и условия (29)–(30):

$$\phi(b) = \phi(a) + 4\pi m, \quad m \in Z, \quad (29')$$

$$\phi'(b) = \phi'(a), \quad \dots \quad \phi^{(k-1)}(b) = \phi^{(k-1)}(a), \quad (30')$$

$$\phi^{(k)}(b) + \theta^{(k)}(b) = \phi^{(k)}(a) + \theta^{(k)}(a). \quad (30'')$$

Итак, возможность гладкой класса  $C^k$  "склейки" начальной и конечной точек кривой  $l$  аналитически описывается условиями (23'), (25'), (27'), (29'), (30'), (30'') на функции  $\phi(t)$  и  $\theta(t)$ , задающие грасманов образ. Эти условия как раз и составляют содержание предположений 3)–4) теоремы.

Таким образом, можем восстановить регулярную класса  $C^k$  замкнутую кривую  $l$ . При ее вращении получаем замкнутую поверхность  $F^2 \subset E^4$ , гомотопную тору, грасманов образ которой совпадает с заданной замкнутой поверхностью с вырожденной проекцией  $\Gamma^2 \subset G_{2,4}$ . ■

**П р и м е р.** Положим  $\theta \equiv \pi/2$ . Условия 1), 3) и частично 4) теоремы 3 будут выполнены, а неравенство 2) и оставшиеся равенства 4) запишутся в виде условий для  $\phi$ . А именно,  $\phi' \neq 0$ ,  $\phi(b) - \phi(a) = 4\pi k, k \in Z$ ,  $\phi'(b) = \phi'(a), \dots, \phi^{(k)}(b) = \phi^{(k)}(a)$ . Легко видеть, что класс функций  $\phi : [a, b] \rightarrow R$  с такими свойствами достаточно широк. Из (17) следует, что в этом случае восстанавливаемая кривая  $l$  в плоскости  $x^1, x^3$  будет окружностью с центром в начале координат  $O$ . При вращении  $l$  получим плоский тор  $T^2$  в  $E^4$ . Заметим, принимая во внимание (18), что кривизна  $\bar{K}$  многообразия  $G(2, 4)$  вдоль площадок, касательных к грасманову образу  $\Gamma^2$ , тождественно равна 0.

**З а м е ч а н и е.** Теоремы 2 и 3 можно обобщить по аналогии с предположенной в разд. 1 возможностью обобщения теоремы 1. А именно, можно допустить существование на интервале  $(a, b)$  изолированных точек  $a = t_1 < \dots < t_j = b$ , в которых  $\sin \theta$  и  $\theta' + \phi'$  обращаются в нуль. На каждом из интервалов  $(t_i, t_{i+1})$  мы можем воспользоваться теоремой 1 и восстановить кривую  $\tilde{l}_i$  с радиус-вектором вида (17). Затем необходимо будет обеспечить возможность объединения этих кривых в одну  $C^k$ -гладкую регулярную кривую  $\tilde{l}_i$ , после чего можно будет действовать, как при доказательстве теорем 2 и 3, соответственно. Усложнение доказательства и увеличение объема выкладок компенсируется увеличением класса допускаемых в теоремах 2 и 3 функций

$\theta$ ,  $\phi$ , а значит, существенно расширит класс восстанавливаемых поверхностей вращения, гомеоморфных сфере или тору.

#### 4. Топология грассманова образа

В завершающем разделе статьи мы докажем несколько утверждений "в целом", представляющих топологические ограничения на грассманов образ с вырожденной проекцией замкнутой поверхности  $F^2 \subset E^4$ .

Для двумерных поверхностей в трехмерном евклидовом пространстве классическим результатом является тот факт, что элемент площади сферического образа к элементу площади самой поверхности равен гауссовой кривизне поверхности. Аналогичный факт имеет место и для  $F^2 \subset E^4$ . А именно, построим грассманов образ  $\Gamma$  в  $G(2, 4)$ , затем спроектируем его на сферы-сомножители  $S_1^2$  и  $S_2^2$ . Для построенных отображений введем обозначения  $G_i : F^2 \rightarrow \Gamma^2 \rightarrow S_i^2$ . Тогда имеют место соотношения

$$\frac{d\Omega_i}{dA} = |K \pm \kappa|, \quad (31)$$

где  $d\Omega_i$  — элементы площади сфер  $S_i^2$ ,  $dA$  — элемент площади самой поверхности  $F^2$ ,  $K$  и  $\kappa$  — ее гауссова кривизна и гауссово кручение [3]. Если ориентировать сферы  $S_i^2$  так, чтобы соответствующие нормали были направлены наружу, и рассмотреть ориентированные элементы площади, то знак модуля в (31) можно снять.

Применяя эти формулы, докажем следующее утверждение.

**Теорема 4.** Пусть  $F^2 \subset E^4$  — замкнутая ориентируемая  $C^2$ -регулярная поверхность рода  $m$ . Предположим, что ее грассманов образ  $\Gamma^2 \subset G(2, 4)$  при проекции на  $S_2^2$  отображается в линию или точку. Тогда степень отображения  $G_1 : F^2 \rightarrow \Gamma^2 \rightarrow S_1^2$  равна эйлеровой характеристике  $\chi = 2 - 2m$  поверхности  $F^2$ .

**Доказательство.** Так как проекция грассманова образа  $\Gamma^2 \subset G(2, 4)$  на  $S_2^2$  вырождена, т.е.  $\Gamma^2$  отображается в линию или точку, то  $d\Omega_2 \equiv 0$ . Поэтому, принимая во внимание (31), получаем, что гауссова кривизна поверхности  $F^2$  совпадает с ее гауссовым кручением,  $K = \kappa$ . Следовательно, в свою очередь,  $d\Omega_1 = 2K$ . Находим теперь степень отображения  $G_1$  — проекции  $F^2$  на  $S_1^2$ :

$$\begin{aligned} \text{степень } G_1 &= \frac{1}{\text{площадь}(S_1^2)} \int_{G_1(F^2)} d\Omega_1 = \frac{1}{4\pi} \int_{F^2} 2K \cdot dA \\ &= \frac{1}{4\pi} \cdot 2 \cdot 2\pi \cdot \chi(F^2) = \chi(F^2). \end{aligned}$$

■

**Следствие.** В условиях теоремы 4, если  $F^2$  гомеоморфно сфере ( $\chi = 2$ ), то степень отображения  $G_1 : F^2 \rightarrow S_1^2$  равна 2. В частности, образ  $G_1(F^2)$  покрывает всю сферу  $S_1^2$  и обязательно имеет особые точки.

**Следствие.** В условиях теоремы 4, если  $F^2$  гомеоморфно тору ( $\chi = 0$ ), то степень отображения  $G_1 : F^2 \rightarrow S_1^2$  равна 0.

Рассмотренный выше грассманов образ с вырожденной проекцией удовлетворяет условиям теоремы 4, поэтому в сферическом случае будет выполнено и сформулированное только что следствие. Это объясняет, почему грассманов образ с вырожденной проекцией в случае погруженной сферы  $F^2 \subset E^4$  обязан быть двулиственным и должен иметь особые точки.

### Список литературы

- [1] Ю.А. Аминов, Восстановление поверхности в  $E^4$  по заданному грассманову образу. — *Мат. сб.* (1982), т. 117, № 2, с. 147–160.
- [2] К.О. Кизбикенов, 2-мерные поверхности в  $E^4$  с заданным грассмановым образом. — Ленинград (1983). Деп. ВИНТИ 12.83, № 6568-83.
- [3] Yu.A. Aminov, The geometry of submanifolds. Gordon and Breach Sci. Publishers, Amsterdam (2001).
- [4] А.А. Борисенко, Ю.А. Николаевский, Грассмановы многообразия и грассманов образ подмногообразий. — *Успехи мат. наук* (1991), т. 42, № 2, с. 41–83.
- [5] Ю.А. Аминов, Н.В. Манжос, Замкнутые поверхности в  $E^4$  с ненулевым инвариантом Уитни. — *Мат. физ., анализ, геом.* (1998), т. 5, № 3/4, с. 139–148.

### On the reconstruction of a two-dimensional closed surface in $E^4$ from a given closed Grassmann image

Yu.A. Aminov, V.O. Gorkavyu and A.V. Sviatovets

The problem of reconstruction of a two-dimensional closed surface of particular form in four-dimensional Euclidean space from a given closed Grassmann image is studied.